

Beijing Forest Studio
北京理工大学信息系统及安全对抗实验中心



二进制程序中加解密函数的定位

二进制程序中加解密函数的定位

焦龙龙 研究生

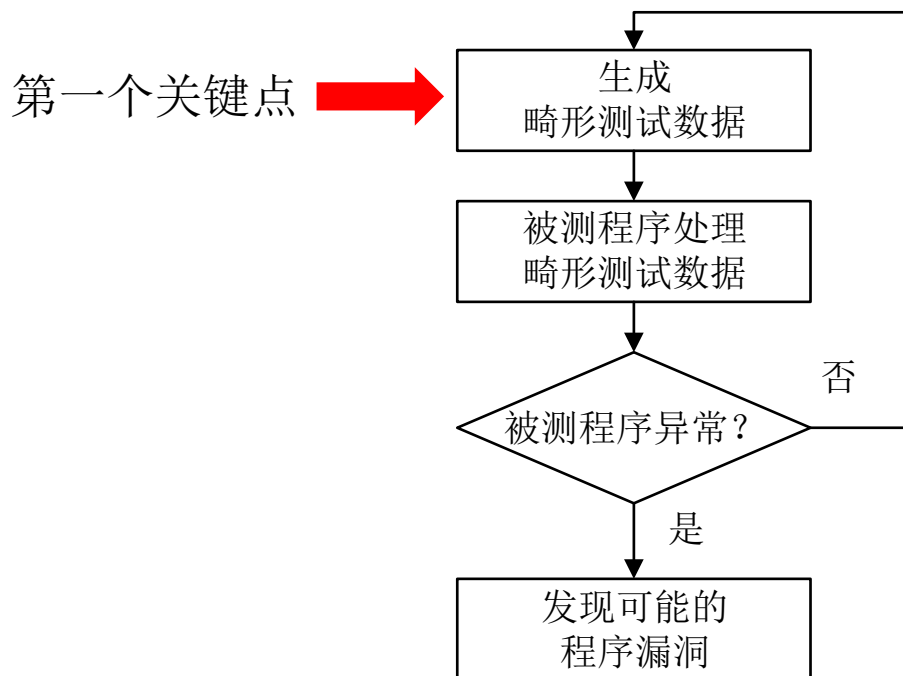
2018年06月18日

- 背景简介
- 基本概念
- 加解密函数定位
 - 人工定位
 - 流量分析
 - 静态分析
 - 动态分析
- 优劣分析
- 应用总结
- 参考文献



背景简介

- 模糊测试是一种广泛使用的自动化漏洞挖掘方法
- 基本原理
 - 对原始测试数据进行**变异**生成畸形测试数据
 - **监控**被测程序处理畸形测试数据的过程
 - 被测程序出现**异常**行为时就可能发现了漏洞



- 通过变异的方式生成测试数据

1.程序的
输入数据
2.程序处
理的数据

	0	1	2	3	4	5	6	7	8	9	A	B	C	D	E	F
0000h:	01	00	00	00	00	00	00	00	00	00	00	00	00	00	00	00

变异第一个字节

原始数据

	0	1	2	3	4	5	6	7	8	9	A	B	C	D	E	F
0000h:	00	00	00	00	00	00	00	00	00	00	00	00	00	00	00	00

AES加密

	0	1	2	3	4	5	6	7	8	9	A	B	C	D	E	F
0000h:	72	A4	66	FD	53	67	CC	A4	93	04	55	A7	1C	E4	8B	23

变异第一个字节

程序的
输入数据

	0	1	2	3	4	5	6	7	8	9	A	B	C	D	E	F
0000h:	73	A4	66	FD	53	67	CC	A4	93	04	55	A7	1C	E4	8B	23

AES解密

程序处理
的数据

	0	1	2	3	4	5	6	7	8	9	A	B	C	D	E	F
0000h:	C8	9E	7B	D5	58	9E	94	7E	0B	CD	6A	8C	1C	D7	1D	B2

无加解密

有加解密

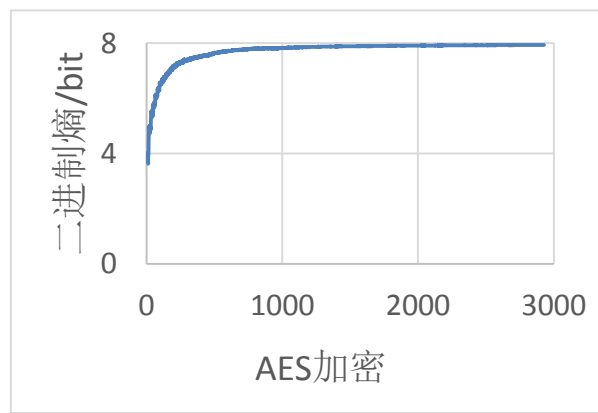
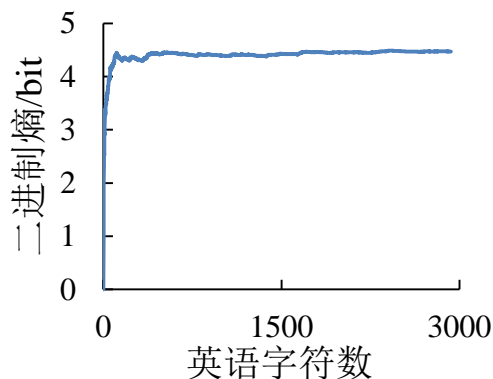
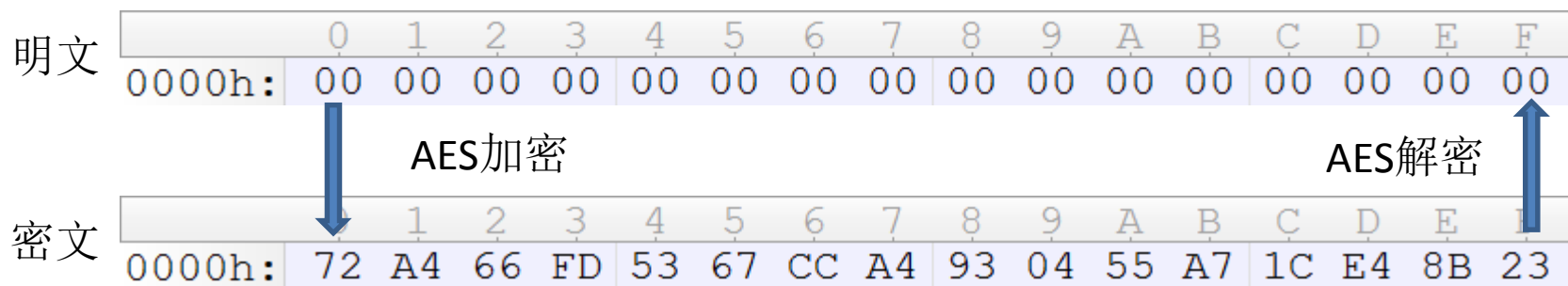
- 把模糊测试的起点设置为加解密操作完成之后

- 需要进行加解密函数的定位



基本概念

- 加密
 - 将明文数据按某种算法进行处理，使之成为不可读的密文
- 解密
 - 加密的逆过程，即将密文还原为明文的过程



- 一个加密算法应该具有良好的扩散性和混乱性
- 扩散性：明文数据的每一个微小变化都应该影响到密文中尽可能多的数据，以隐藏明文数据的统计特征

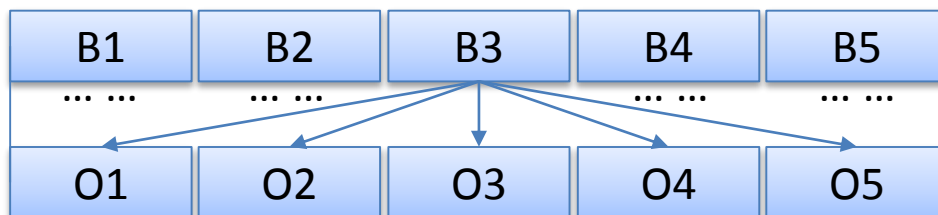
明文	0	1	2	3	4	5	6	7	8	9	A	B	C	D	E	F
0000h:	00	00	00	00	00	00	00	00	00	00	00	00	00	00	00	00

密文	0	1	2	3	4	5	6	7	8	9	A	B	C	D	E	F
0000h:	72	A4	66	FD	53	67	CC	A4	93	04	55	A7	1C	E4	8B	23

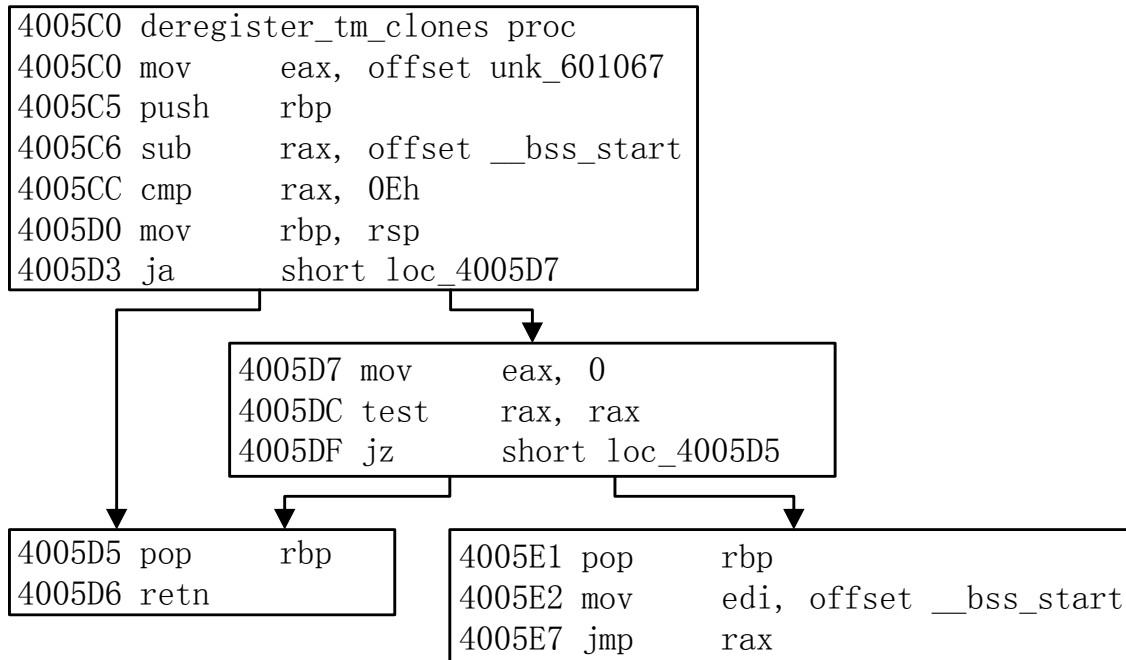
密文	0	1	2	3	4	5	6	7	8	9	A	B	C	D	E	F
0000h:	57	F7	CE	79	36	EA	3E	AF	93	02	02	EA	F4	78	50	01

明文	0	1	2	3	4	5	6	7	8	9	A	B	C	D	E	F
0000h:	01	00	00	00	00	00	00	00	00	00	00	00	00	00	00	00

- 混乱性：明文数据在使用密钥进行加密之前，应该经过一个可逆的计算进行“混合”



- 基本块 (Basic Block, BBL)
 - 二进制程序可以划分成很多的基本块
 - 每一个基本块都是一个没有分支的代码指令序列
 - 一个基本块只会有一个入口和一个出口





加解密函数定位

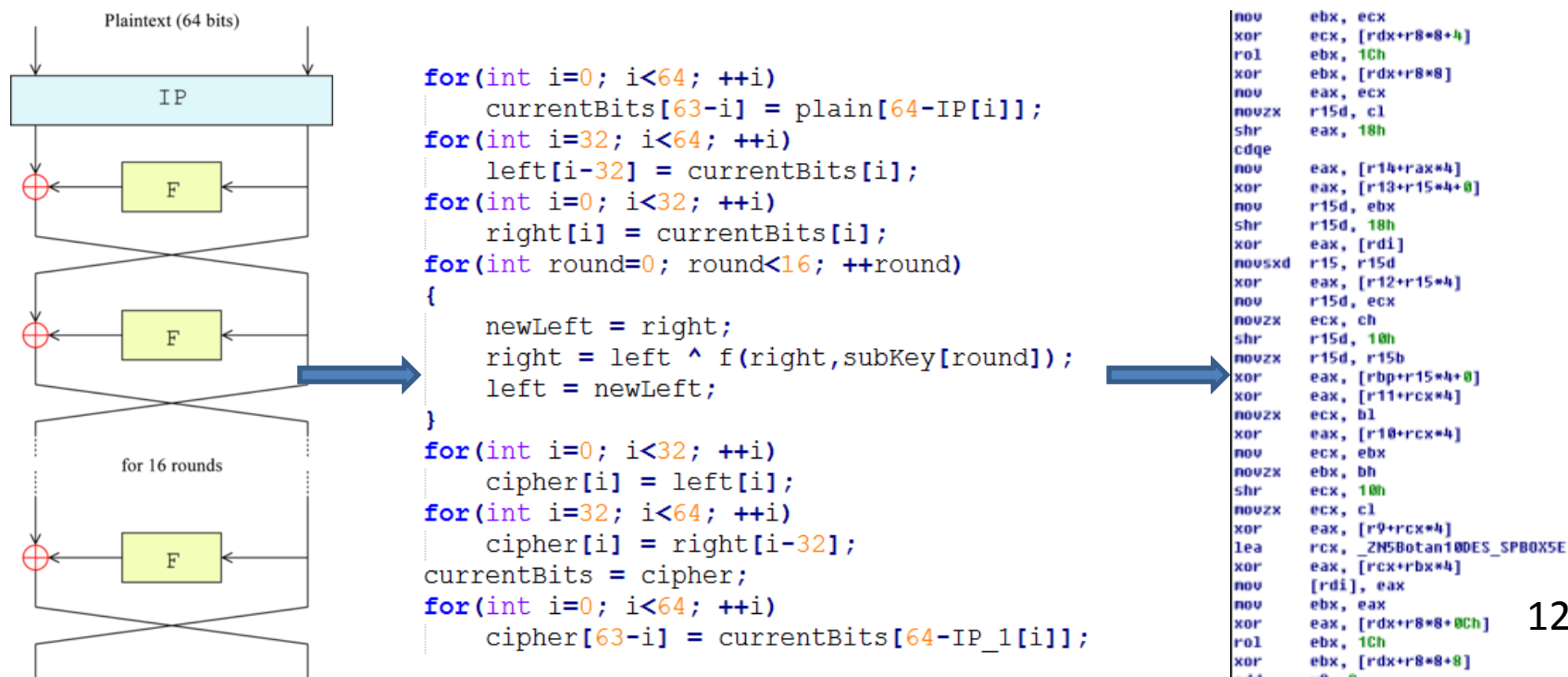
- 加解密函数
 - 执行加密或解密过程的函数
- 加解密函数定位方法
 - 人工定位
 - 流量分析
 - 静态分析
 - 动态分析

DES加密函数的部分代码

```
lea    rax, [rsp+70h+var_58]
lea    r13, _ZN5Botan10DES_IPTAB1E ; Botan::DES
lea    r14, _ZN5Botan10DES_FPTAB1E ; Botan::DES
lea    rbp, [rsp+70h+var_48]
mov     rbx, rdi
mov     r15, rsi
mov     r10, rdx
xor     r12d, r12d
mov     [rsp+70h+var_70], rax
nop     dword ptr [rax+00h]
```

```
loc_4EBB98:
movzx   edx, byte ptr [r15]
movzx   eax, byte ptr [r15+7]
mov     rsi, rbp
lea     rcx, _ZN5Botan10DES_IPTAB2E ; Botan::DES_IPTAB2
mov     rdi, [rsp+70h+var_70]
mov     [rsp+70h+var_68], r10
mov     rax, [rcx+rax*8]
or      rax, [r13+rdx*8+0]
movzx   edx, byte ptr [r15+1]
mov     rdx, [r13+rdx*8+0]
add     rdx, rdx
or      rax, rdx
movzx   edx, byte ptr [r15+2]
mov     rdx, [r13+rdx*8+0]
shl     rdx, 2
or      rax, rdx
```

- 人工定位法
 - 专业的分析人员利用其拥有的经验和专业知识，对程序和程序的输入数据进行分析，进而确定加解密函数的位置
- 劣势
 - 专业的分析人员耗费大量的时间才能完成加解密函数定位



- 流量分析法

- 流量分析是一种通过分析网络报文中各个字节的变化规律提取报文对应的协议格式信息的网络协议分析方法
- 通过分析数据的“混乱”程度来确定是否被加密

明文

	0	1	2	3	4	5	6	7	8	9	A	B	C	D	E	F
0000h:	00	00	00	00	00	00	00	00	00	00	00	00	00	00	00	00

密文

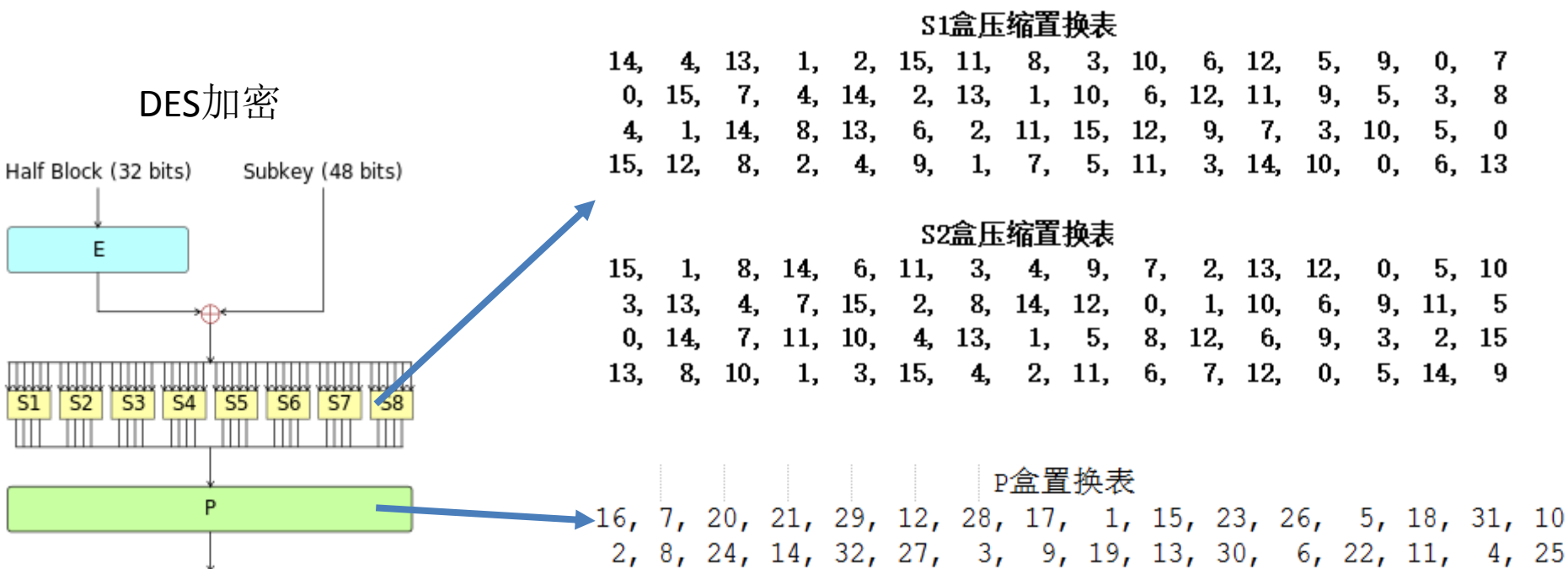
	0	1	2	3	4	5	6	7	8	9	A	B	C	D	E	F
0000h:	72	A4	66	FD	53	67	CC	A4	93	04	55	A7	1C	E4	8B	23

- 劣势

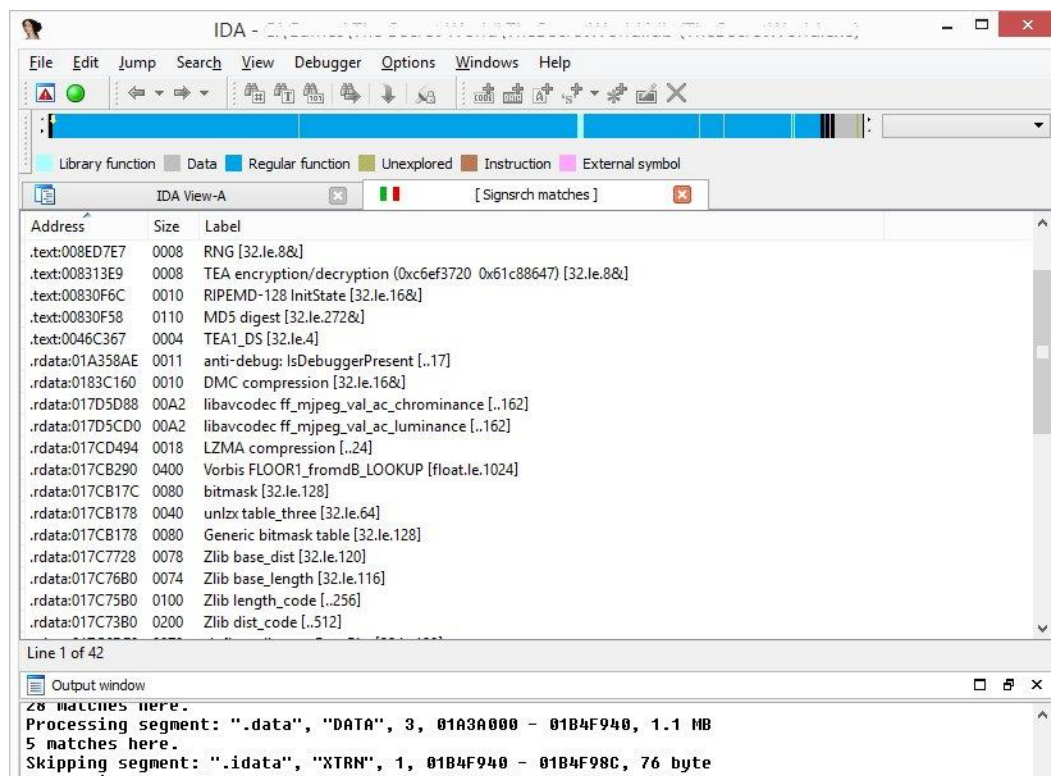
- 仅判断了是否存在加解密过程

- 静态分析法

- 查找加解密运算过程中使用的某些特征来确定一个二进制程序中是否包含某种加解密算法



- IDA中的FindCrypt、IDA Signsrch插件
 - 查找加解密算法的魔术常数
- OllyDbg中的SnD Reverser Tool插件
 - 查找加解密算法具有固定特征的双字节或字节流



• 考勤系统Attendance.exe的分析结果

Address	Size	Label
.data:0000000000467B08	0040	DES initial permutation IP[..64]
.data:0000000000467B88	0038	DES permuted choice table (key)[..56]
.data:0000000000467BC0	0030	DES permuted choice key (table)[..48]
.data:0000000000467BF0	0030	DES_ei[..48]
.data:0000000000467C20	0020	DES_p32i[..32]
.data:0000000000467C60	0200	DES S-boxes[..512]

.data:00467C20 byte_467C20

db 10h

.data:00467C20

.data:00467C20

.data:00467C21

db 7

.data:00467C22

db 14h

.data:00467C23

db 15h

.data:00467C24

db 10h

.data:00467C25

db 0Ch

.data:00467C26

db 1Ch

.data:00467C27

db 11h

.data:00467C28

db 1

.data:00467C29

db 0Fh

.data:00467C2A

db 17h

.data:00467C2B

db 1Ah

.data:00467C2C

db 5

.data:00467C2D

db 12h

.data:00467C2E

db 1Fh

.data:00467C2F

db 0Ah

.data:00467C30

db 2

.data:00467C31

db 8

.data:00467C32

db 18h

.data:00467C33

db 0Eh

.data:00467C34

db 20h

.data:00467C35

db 18h

.data:00467C36

db 3

.data:00467C37

db 9

.data:00467C38

db 13h

.data:00467C39

db 0Dh

```
loc_42AA05:
movzx dx, byte ptr [eax]
movzx bx, byte ptr [eax+5]
add eax, 6
add esi, 40h
lea edx, [ebx+edx*2]
add ecx, 4
movzx bx, byte ptr [eax-5]
lea edx, [ebx+edx*2]
movzx bx, byte ptr [eax-4]
lea edx, [ebx+edx*2]
movzx bx, byte ptr [eax-3]
lea edx, [ebx+edx*2]
movzx bx, byte ptr [eax-2]
lea edx, [ebx+edx*2]
mov [esp+0Ch+arg_0], edx
movsx edx, dx
movzx dx, byte_467C20[edx+esi] ; <$ignsrch> "DES_p32i[..32]"
mov [esp+0Ch+arg_0], edx
and dl, 1
sar word ptr [esp+0Ch+arg_0], 1
mov [ecx-3], dl
mov dl, byte ptr [esp+0Ch+arg_0]
sar word ptr [esp+0Ch+arg_0], 1
and dl, 1
mov [ecx-4], dl
```


- 不能识别私有加解密函数或一些被修改过的加解密函数
- 可能存在误判

```
uint8_t Botan::GOST_28147_89_Params::sbox_entry ( size_t row,
                                                    size_t col
                                                    ) const
```

```
uint8_t Botan::GOST_28147_89_Params::sbox_pair ( size_t row,
                                                size_t col
                                                ) const
```

```

//inversepermutationbox
static BYTE inversepermutationbox[]={
/* 0      1      2      3      4      5      6      7      8      9      a
0x52,0x09,0x6a,0xd5,0x30,0x36,0xa5,0x38,0xbf,0x40,0xa3,
0x7c,0xe3,0x39,0x82,0x9b,0x2f,0xff,0x87,0x34,0x8e,0x43,
0x54,0x7b,0x94,0x32,0xa6,0xc2,0x23,0x3d,0xee,0x4c,0x95,
0x08,0x2e,0xa1,0x66,0x28,0xd9,0x24,0xb2,0x76,0x5b,0xa2,
0x72,0xf8,0xf6,0x64,0x86,0x68,0x98,0x16,0xd4,0xa4,0x5c,
0x6c,0x70,0x48,0x50,0xfd,0xed,0xb9,0xda,0x5e,0x15,0x46,
0x90,0xd8,0xab,0x00,0x8c,0xbc,0xd3,0x0a,0xf7,0xe4,0x58,
0xd0,0x2c,0x1e,0x8f,0xca,0x3f,0x0f,0x02,0xc1,0xaf,0xb0,
0x3a,0x91,0x11,0x41,0x4f,0x67,0xd6,0xea,0x97,0xf2,0xcf,
0x96,0xac,0x74,0x22,0xe7,0xad,0x35,0x85,0xe2,0xf9,0x37,
0x47,0xf1,0x1a,0x71,0x1d,0x29,0xc5,0x89,0x6f,0xb7,0x62,
0xfc,0x56,0x3e,0x4b,0xc6,0xd2,0x79,0x20,0x9a,0xdb,0xc0,
0x1f,0xdd,0xa8,0x33,0x88,0x07,0xc7,0x31,0xb1,0x12,0x10,
0x60,0x51,0x7f,0xa9,0x19,0xb5,0x4a,0x0d,0x2d,0xe5,0x7a,
0xa0,0xe0,0x3b,0x4d,0xae,0x2a,0xf5,0xb0,0xc8,0xeb,0xbb,
0x17,0x2b,0x04,0x7e,0xba,0x77,0xd6,0x26,0xe1,0x69,0x14,
};

int main( int argc, char* argv[] ) {
    ...
    for (int i = 0; i < sizeof(inversepermutationbox); i++)
    {
        printf("%d, %x\n", i, inversepermutationbox[i]);
    }
    ...
    return 0;
}

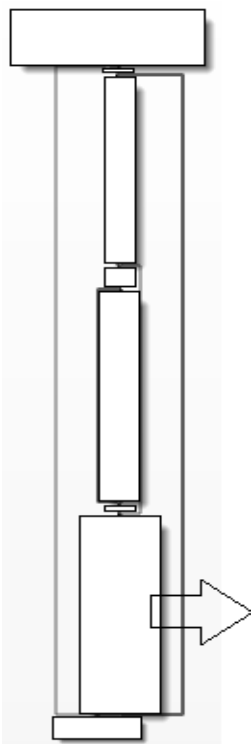
```

巧合的包含了AES的特征数据

- 动态分析法

- 通过分析程序的执行过程来判断其中是否包含加解密函数

AES加密函数



```
.text:04E0EA5 mov     eax, [rsp+30h+var_64]
.text:04E0EA9 mov     r15, [rsp+30h+var_48]
.text:04E0EAE mov     esi, ecx
.text:04E0EB0 mov     rdi, [r15]
.text:04E0EB3 lea     r14, _ZN5Botan12_GLOBAL__N_1L2SEE
.text:04E0EBA shr     esi, 18h
.text:04E0EBD lea     r10, _ZN5Botan12_GLOBAL__N_1L2SEE
.text:04E0EC4 movsxd  rsi, esi
.text:04E0EC7 movzx   esi, byte ptr [r14+rsi]
.text:04E0ECC mov     r14, [rsp+30h+var_50]
.text:04E0ED1 xor     sil, [rdi]
.text:04E0ED4 mov     [r14], sil
.text:04E0ED7 mov     esi, edx
.text:04E0ED9 mov     rdi, [r15]
.text:04E0EDC shr     esi, 10h
.text:04E0EDF movzx   esi, sil
.text:04E0EE3 movzx   esi, byte ptr [r10+rsi]
```

```
.text:04E0FEF xor     sil, [rdi+0Bh]
.text:04E0FF3 mov     [r14+0Bh], sil
.text:04E0FF7 mov     rdi, [r15]
.text:04E0FFA movzx   esi, byte ptr [r10+rbx]
.text:04E0FFF xor     sil, [rdi+0Ch]
.text:04E1003 mov     [r14+0Ch], sil
.text:04E1007 mov     rsi, [r15]
.text:04E100A xor     cl, [rsi+0Dh]
.text:04E100D mov     [r14+0Dh], cl
.text:04E1011 mov     rcx, [r15]
.text:04E1014 xor     dl, [rcx+0Eh]
.text:04E1017 mov     [r14+0Eh], dl
.text:04E101B mov     rdx, [r15]
.text:04E101E xor     al, [rdx+0Fh]
.text:04E1021 mov     [r14+0Fh], al
.text:04E1025 mov     rax, [rsp+30h+var_40]
.text:04E102A cmp     [rsp+30h+var_60], rax
.text:04E102F jnz     loc_4E0BA0
```

共103条指令
计算类指令3条
逻辑类指令16条
移位类指令8条

- 加解密函数的特征
 - 进行大量的计算以完成加解密工作
 - 一般仅含有非常少的跳转指令
 - 函数中的基本块包含的指令数通常明显多于其他函数
 - 一般情况下，加解密函数中的基本块会包含20条以上的指令
 - 加解密函数中计算工作会大量使用运算类指令，是一种密集计算函数
 - 加解密函数的基本块中运算类指令的比例明显高于其他基本块
 - 加解密函数中运算类指令的占比在25%~80%

- 定位方案
 - 统计程序中各个部分的指令特征，将包含大量的算术运算和位运算的密集计算部分视为执行加解密操作的部分

种类	指令
计算类	add, sub, inc, dec, adc, sbb, mul, div, imul, idiv
逻辑类	and, or, not, xor, neg
移位类	shl, shr, shld, shrd, rcl, rol, rcr, ror, sal, sar

- Mov类指令 17条
- 运算类指令 11条
- 总指令数 34
- 运算类指令占比32.35%

```
loc_42AA05:
movzx  dx, byte ptr [eax]
movzx  bx, byte ptr [eax+5]
add     eax, 6
add     esi, 40h
lea     edx, [ebx+edx*2]
add     ecx, 4
movzx  bx, byte ptr [eax-5]
lea     edx, [ebx+edx*2]
movzx  bx, byte ptr [eax-4]
lea     edx, [ebx+edx*2]
movzx  bx, byte ptr [eax-3]
lea     edx, [ebx+edx*2]
movzx  bx, byte ptr [eax-2]
lea     edx, [ebx+edx*2]
mov     [esp+0Ch+arg_0], edx
movsx   edx, dx
movzx   dx, byte_467C20[edx+esi] ; <$signsrch> "DES_p32i[..32]"
mov     [esp+0Ch+arg_0], edx
and     dl, 1
sar     word ptr [esp+0Ch+arg_0], 1
mov     [ecx-3], dl
mov     dl, byte ptr [esp+0Ch+arg_0]
sar     word ptr [esp+0Ch+arg_0], 1
and     dl, 1
mov     [ecx-4], dl
mov     dl, byte ptr [esp+0Ch+arg_0]
mov     bl, dl
sar     dl, 1
and     bl, 1
and     dl, 1
mov     [ecx-5], bl
mov     [ecx-6], dl
dec     edi
jnz     short loc_42AA05
```

- 动态分析法的劣势
 - 无法区分加解密函数和其他密集计算函数

- 一个非加解密型的密集计算函数
 - 共有22条指令
 - 运算类指令17条
 - 运算类指令占比77.27%

```
1  push    ebp
2  mov     ebp, esp
3  xor     eax, eax
4  add     eax, 1h
5  add     eax, 2h
6  add     eax, 3h
7  add     eax, 4h
8  add     eax, 5h
9  add     eax, 6h
10 add     eax, 7h
11 add     eax, 8h
12 add     eax, 9h
13 add     eax, 10h
14 add     eax, 11h
15 add     eax, 12h
16 add     eax, 13h
17 add     eax, 14h
18 add     eax, 15h
19 add     eax, 16h
20 mov     esp, ebp
21 pop     ebp
22 retn
```



优劣分析

- 适用于模糊测试的加解密函数定位
 - 人工定位
 - 静态分析
 - 动态分析

	优势	劣势
人工定位	适宜各类场景	人力成本、时间成本高
静态分析	能够获取算法名称	不能识别私有加解密函数
动态分析	不依赖加密算法的特征数据块	无法区分加解密函数和其他密集计算函数



应用总结

- IDA Signsrch对基于Botan算法库构建的加密程序的分析结果

IDA Signsrch的特征库中没有IDEA的特征

GOST、Serpent加密算法没有使用固定的数组储存IDA Signsrch记录特征数据

程序	发现加密算法特征数据块
AES	√
Blowfish	√
Camellia	√
CAST	√
DES	√
3DES	√
GOST	×
IDEA	×
KASUMI	√
MISTY1	√
Noekeon	√
RC6	√
SEED	√
Serpent	×
Skipjack	√
Twofish	√

- 程序中包含输入数据的解密时的漏洞挖掘结果

发现漏洞所需的测试数据的数量

工具	最小值	最大值	平均值
zzuf	2793	152407	64940
AFL	41684	212105	84460

```
fp = fopen(file_name, "rb");
n = fread(buff, 16, 1, fp);
Decrypt(buff, 16);
if ((buff[1] + buff[2]) > buff[0] &&
    (buff[2] + buff[0]) > buff[1] &&
    (buff[0] + buff[1]) > buff[2] ) {
    if (buff[1] == buff[0] || buff[2] == buff[1] || buff[1] == buff[2]) {
        program crash;
    }
}
```

- 去除加解密函数的影响后的漏洞挖掘结果

发现漏洞所需的测试数据的数量

工具	最小值	最大值	平均值
zzuf	39	12949	3363
AFL	426	657	491

```
if ((buff[1] + buff[2]) > buff[0] &&  
    (buff[2] + buff[0]) > buff[1] &&  
    (buff[0] + buff[1]) > buff[2] ) {  
    if (buff[1] == buff[0] || buff[2] == buff[1] || buff[1] == buff[2]) {  
        program crash;  
    }  
}
```

- [1] Wondracek G, Comparetti P M, Kruegel C, et al. Automatic Network Protocol Analysis [C]. 16th Annual Network & Distributed System Security Symposium (NDSS 2008), San Diego, CA, 2008: 1-14.
- [2] Wang Z, Jiang X, Cui W, et al. ReFormat: Automatic Reverse Engineering of Encrypted Messages [C]// 14th European Symposium on Research in Computer Security. Saint-Malo, France:[s.n.], 2009: 200-215.
- [3] Li X, Wang X, Chang W. CipherXRay: Exposing Cryptographic Operations and Transient Secrets from Monitored Binary Execution [J]. IEEE Transactions on Dependable & Secure Computing, 2014, 11(2): 101-114.

道可道，非常道。名可
名，非常名。无名天地
之始。有名万物之母。
故常无欲以观其妙。常
有欲以观其徼。此两者
同出而异名，同谓之玄。
玄之又玄，众妙之门。

谢谢！

